

تأثیر عملیات حرارتی بر تحولات فازی، تغییرات مورفولوژیکی و اندازه نانوپودرهای زیرکونیایی سنتز شده با روش سل - ژل

اسماعیل نوری^{*}، محمد شاهمیری^۱، حمید رضا رضایی^۲ و فاطمه طلائیان^۳

۱- کارشناس ارشد، دانشکده مهندسی مواد و متالورژی، دانشگاه علم و صنعت ایران، تهران، ایران

۲- استادیار، دانشکده مهندسی مواد و متالورژی، دانشگاه علم و صنعت ایران، تهران، ایران

۳- استاد، دانشکده مهندسی مواد و متالورژی، دانشگاه علم و صنعت ایران، تهران، ایران

۴- دانشجوی کارشناسی ارشد، دانشکده مهندسی مواد، دانشگاه صنعتی سهند، تبریز، ایران

*enouri@metaleng.iust.ac.ir

(تاریخ دریافت: ۱۳۹۰/۰۳/۰۱، تاریخ پذیرش: ۱۵/۰۴/۱۳۹۰)

چکیده

در این تحقیق، نانوپودرهای زیرکونیایی با استفاده از هیدروکسید استات زیرکونیوم در یک فرآیند سل - ژل سنتز گردیده و در دماهای مختلف عملیات حرارتی شده‌اند. نانوپودرهای حاصله با استفاده از تحلیلگرها طیف سنجی مادون قرمز (FT-IR)، آنالیزهای توزین حرارتی و حرارتی افتراقی (TG/DTA)، پراش اشعه ایکس (XRD) و میکروسکوپ الکترونی روبشی (SEM) مورد بررسی قرار گرفته‌اند. نتایج نشان داده است که این فرایند منجر به تشکیل فاز زیرکونیای تتراگونال با درجه تبلوری بالا در دمای 800°C شده و سپس در گستره دمایی $1200^{\circ}\text{C} - 800^{\circ}\text{C}$ ساختار به فاز زیرکونیای منوکلینیک تبدیل شده است. نتایج بدست آمده از تحلیلگر تعیین مساحت سطح ویژه (S_{BET}) هم نشان می‌دهد که با افزایش دمای عملیات حرارتی، مساحت سطح نانوپودرها کاهش و در نتیجه اندازه متوسط ذرات افزایش می‌یابد. تصاویر حاصل از میکروسکوپ الکترونی روبشی هم نشان دهنده آن بود که مورفولوژی نانوپودرهای زیرکونیایی بر اساس دماهای عملیات حرارتی تغییر می‌کند.

واژه‌های کلیدی:

نانوپودرهای زیرکونیایی، فرایند سل - ژل، عملیات حرارتی، مساحت سطح ویژه، اندازه و مورفولوژی.

۱- مقدمه

نانوپودرها در مقایسه با پودرهای میکرو، خواص کاملاً متمایزی را به نمایش می‌گذارند که علت آن بالا بودن مساحت سطح

ذوب (۲۶۸۰°C) وجود دارد. استحاله شبه مارتزیتی زیرکونیا از فاز تراگونال به منوکلینیک با تغییر حجمی بالغ بر ۴ درصد و کرنش برشی حدود ۰/۱۶ همراه است [۸]، لذا سنتز پودرهای زیرکونیایی با ساختار بلوری تراگونال در دماهای پایین از چالش‌های مطالعاتی بسیار مهم می‌باشد. هدف اصلی این تحقیق نیز تلاش برای سنتز زیرکونیایی تراگونال با استفاده از فرآیند سل - ژل در دمای پایین بوده است. علاوه بر آن با استفاده از تحلیلگرهاي S_{BET}, FT-IR, TG-DTA, XRD و SEM، اثر دماهای سنتز بر ساختار بلوری، اندازه و مورفلوژی نانوپودرها بررسی شده است.

۲- بررسی آزمایش

۲-۱- مواد و روش تحقیق

مقدار سه گرم از پودر اولیه هیدروکسید استاتات زیرکونیوم (CH₃CO₂)_x Zr(OH)_y به عنوان منبع تولید زیرکونیا مورد استفاده قرار گرفته است، محلول حاصل به منظور جلوگیری از تشکیل هیدروکسید زیرکونیم با ۲/۵ سی سی استون مخلوط شده و میزان ۳ سی سی اسید اکریلیک هم به منظور کمک به تشکیل زیرکونیای تراگونال به محلول اضافه گردیده است. با توجه به تغییرات پتانسیل زتای محلول‌های زیرکونیایی (شکل (۱)) PH نهایی محلول با کمک اسید نیتریک در حدود ۳/۲ ثابت و بوسیله‌ی یک ارتعاشگر مغناطیسی به مدت یک ساعت در دمای اتاق همگن شده و بعد از آن با استفاده از یک صافی ۰/۲۲μm فیلتر شده است. پس از پرسازی ۲۴ ساعته، محلول با چکاندن قطرات آمونیاک در ۵/۸ PH= به ژل تبدیل شد. ژل حاصله در دمای ۹۰°C به مدت ۲۴ ساعت خشک گردیده و بعد از آسیاب شدن به وسیله یک ارتعاشگر آلتراسونیک به مدت یک ساعت تمام آلگومره‌های احتمالی موجود از بین رفته و نهایتاً در محدوده دمایی ۱۰۰۰°C - ۳۰۰ تحت اتمسفر محیط و با سرعت ۵ درجه سانتی گراد بر دقیقه حرارت داده شد و بعد از آن به مدت ۵۰ دقیقه در هر یک از دماهای کلسینه گردید.

پودرهای زیرکونیایی اساساً مساحت سطح ویژه پایینی دارند، به همین خاطر افزایش مساحت سطح ویژه آن‌ها از طریق تولید ذرات ریز، هنوز موضوع مطالعات تحقیقاتی فراوانی می‌باشد [۳-۲]. با توجه به وابستگی خواص مکانیکی، فیزیکی، شیمیایی و ساختاری قطعات زیرکونیایی بر اندازه ذرات پودرهای اولیه، کنترل اندازه ذرات آن از اهمیت بالایی برخوردار است. زیرکونیا به خاطر داشتن ترکیبی از خواص بی‌نظیر از قبیل دیرگذاری و پایداری حرارتی، مقاومت شیمیایی، استحکام مکانیکی، هدایت یونی بالا، هدایت حرارتی پایین در دماهای بالا و ضریب انبساط حرارتی بالا کاربردهای صنعتی فراوانی دارد مانند ساخت قطعات سرامیکی پیشرفته، سنسورهای اکسیژن و دی‌اکسیدکربن، باتری‌ها، پیلهای سوتختی، الکتروولیت‌های جامد، خازن‌های الکتروشیمیایی، پوشش‌های ضدخوردگی سازگار با محیط‌زیست، کاتالیزور و اکتشاهای شیمیایی و پوشش‌های محافظت حرارتی [۱].

شاید سنتز نانو پودرهای زیرکونیایی با درجه خلوص بالا، مورفلوژی یکنواخت، ابعاد ریز و عاری از آلگومراسیون مهم‌ترین مرحله تولید قطعات زیرکونیایی نانوبلوری با ریزساختار و خواص مطلوب باشد. ذرات ریز زیرکونیا با استفاده از روش‌های متعددی مانند آسیاب مکانیکی، روش‌های شیمیایی، هیدروترمال، سنتز شیمیایی بخار، رسوب‌دهی از محلول‌های نمکی آلی، تراکم گازهای خنثی و فرآیند سل - ژل سنتز گردیده‌اند. از بین این روش‌ها، فرآیند سل - ژل به خاطر داشتن ویژگی‌هایی مانند دمای سنتز پایین، قیمت مناسب‌تر، راحتی کنترل پارامترهای سنتز و قابلیت فوق العاده آن در کنترل ترکیب شیمیایی و اختلاط آغازگرهای گوناگون برای ساخت نانوپودرهای کامپوزیتی، بسیار مورد توجه قرار گرفته است [۱ و ۷-۴].

زیرکونیای معمولی دارای سه آلتوروبی متمایز می‌باشد، بدین صورت که فاز منوکلینیک تا حدود ۱۱۷۰°C پایدار است و در این دما به فاز تراگونال تبدیل می‌شود، فاز تراگونال هم تا دمای ۲۳۷۰°C پایدار بوده و از آن به بعد فاز مکعبی تا نقطه

اطلاعات XRD صفحات (۱۱۱) فاز تراگونال و (۱۱۱)- فاز منوكلینیک، اندازه بلور نانوپودرهای زیرکونیایی تعیین گردیده است:

$$d = \frac{k\lambda \cos \theta}{\beta} \quad (4)$$

در این رابطه d قطر بلور (nm)، k فاکتور تصحیح ($k=0/9$)، λ طول موج هدف مسی ($\lambda=1/5406 \text{ \AA}$)، β پهنهای پیک ماکریسم در نصف پیک و θ زاویه برآگ می‌باشد. تغییرات مورفولوژیکی ذرات زیرکونیایی نیز توسط SEM (WEGA\TESCAN) در دماهای مختلف بررسی شده است. مساحت سطح ویژه ذرات هم بوسیله یک تحلیل‌گر BET (Belsorp-mini مدل ۰۰۱۶۵) برآورد گردیده است.

۳- نتایج و بحث

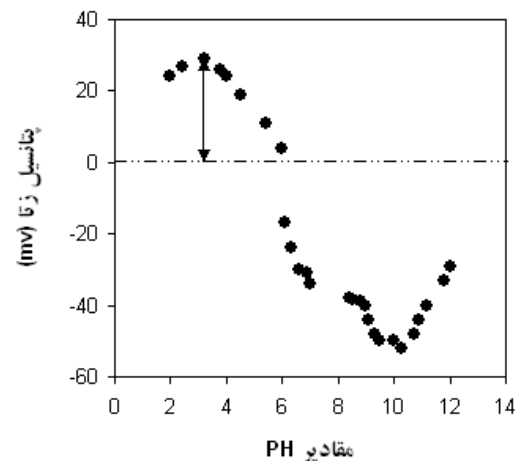
۳-۱- آنالیز حرارتی

تکامل تدریجی نانوپودرهای زیرکونیایی تا مرحله بلور کامل و استحاله فازی آن به صورت تابعی از دما به وسیله FT-IR مورد مطالعه قرار گرفته و نتایج آن در شکل (۲) نشان داده شده است. پیک گستردۀ موجود در عدد موج 1077 cm^{-1} بیانگر ارتعاشات کششی پیوندهای دوگانه $Zr=O$ می‌باشد، پیک‌های متعلق به این عدد موج نشان می‌دهند که در دمای 700°C هنوز پیوندهای Zr-O کاملاً به Zr-O تبدیل نشده‌اند. پیک‌های کمتر از 670 cm^{-1} میان ارتعاشات پیوندهای Zr-O هستند و پیک موجود می‌کند. پیک‌های متعلق به فاز زیرکونیای تراگونال در عدد موج‌های 499 cm^{-1} ، 574 cm^{-1} و 667 cm^{-1} مشاهده می‌شوند. این طیف‌ها نشان می‌دهند که با افزایش دما ارتعاشات جذبی ناشی از پیوندهای $Zr=O$ کاهش یافته و نهایتاً ناپدید می‌شوند، در حالیکه پیک‌های مربوط به Zr-O، با افزایش دما به شدت تقویت می‌شوند و سرانجام در دماهای 800°C و 900°C زیرکونیای بلوری ظاهر می‌شود.

آنالیزهای TG-DTA در محدوده دمایی 25°C - 1200°C با

۲- بررسی‌های ساختاری

تجزیه حرارتی و تحول تدریجی ساختار نانوپودرهای زیرکونیایی در حین حرارت‌دهی با استفاده از FT-IR (TG-DTA سری SHIMADZU-Irsolution) 8400S) و نیز



شکل (۱): منحنی پتانسیل زتا برای محلولهای زیرکونیایی.

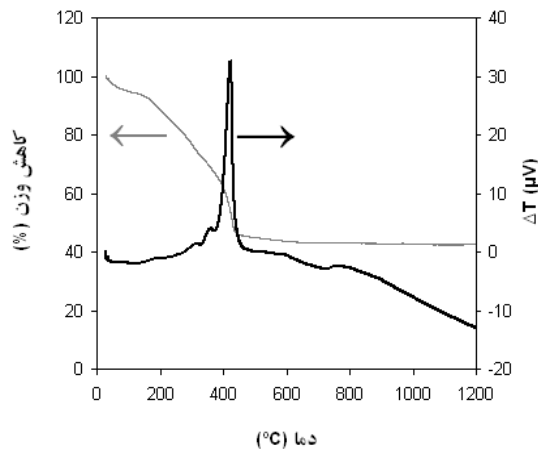
(PL-STA سری ۱۶۴۰) مورد مطالعه قرار گرفته است. تعیین نوع و مقدار فازها و نیز اندازه بلور نانوپودرهای بوسیله XRD (PHILIPS-PW1800) با پرتو Cu K α ($\lambda=1/5406 \text{ \AA}$) در اختلاف پتانسیل ۴۰ کیلوولت و جریان ۳۰ میلی‌آمپر انجام شده و کسر حجمی فازهای زیرکونیای تراگونال (V_t) و زیرکونیای منوکلینیک (V_m) با استفاده از روابط ارائه شده توسط گروه Toroya [۹] تخمین زده شده اند (روابط (۱) الی (۳)):

$$x = \frac{I_m(111) + I_m(\bar{1}\bar{1}\bar{1})}{I_m(111) + I_m(\bar{1}\bar{1}\bar{1}) + I_t(101)} \quad (1)$$

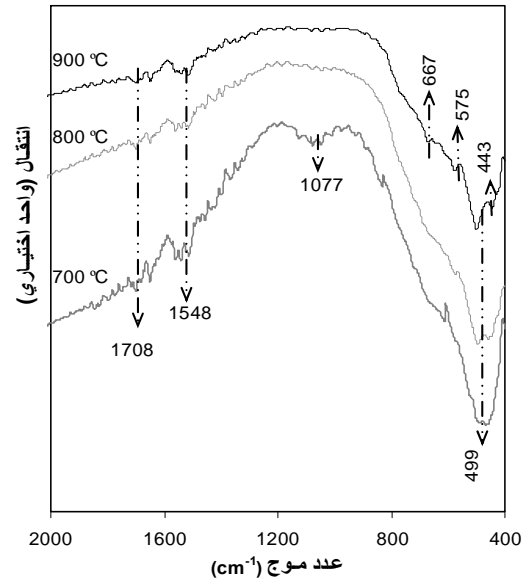
$$V_t = 1 - V_m \quad (2)$$

$$V_m = \frac{1.311x}{1 + 0.311x} \quad (3)$$

در این روابط I_m و I_t بیانگر شدت پیک‌های مربوط به صفحاتی مشخص به ترتیب از فازهای زیرکونیای منوکلینیک و تراگونال هستند. علاوه بر آن با استفاده از فرمول دبای-شرر (رابطه (۴)) و



شکل (۳): نمودارهای TG-DTA نانوپودرهای زیرکونیایی با سرعت گرمایش $5^{\circ}\text{C}/\text{min}$ در اتمسفر محیط.



شکل (۲): طیف FT-IR نانوپودرهای زیرکونیایی در دماهای مختلف.

پیوندهای H_2O و حذف ترکیبات آلی می‌باشد و در همین مرحله در منحنی DTA دو واکنش گرمایش در دماهای 320°C و 370°C اتفاق می‌افتد. در مرحله سوم منحنی TGA یک کاهش وزن شدید مشاهده می‌شود که بر پیک گرمایش قوی در منحنی DTA منطبق است. احتمالاً اکسید شدن ترکیبات نیتریدی حاصل از اسیدنیتریک علت وقوع این واکنش گرمایش شدید بوده است. وقتی که نمونه‌ها در دماهای بالاتر از 600°C حرارت دهی شدند، دیگر هیچ کاهش وزنی در اثر حذف ترکیبات آلی مشاهده نمی‌شود و آن می‌بین متبولورشدن زیرکونیا در این دما می‌باشد. صعود مجدد منحنی DTA در حدود دمای 800°C نشان می‌دهد که در طول فرآیند کلسیناسیون انرژی گرمایی تولید شده است که علت آن می‌تواند استحاله فاز تراگونال به منوکلینیک در زیرکونیا باشد.

۳-۲- بررسی بلوری

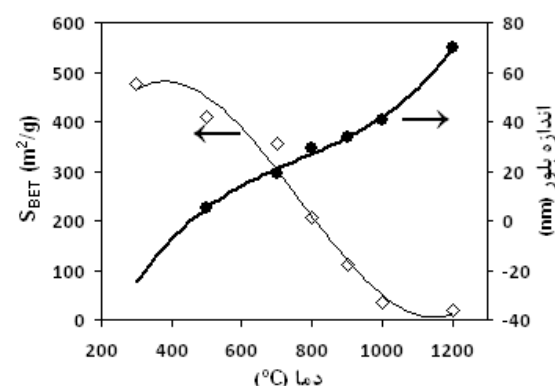
ارتباط بین اندازه بلور و مساحت سطح نانوپودرهای زیرکونیایی در دماهای مختلف در شکل (۴) نشان داده شده است. نتایج حاصل از این شکل می‌بین آن است که افزایش دمای عملیات حرارتی منجر به کاهش مساحت سطح BET و به تبع آن افزایش اندازه متوسط ذرات شده است. در شکل (۵) الگوی

سرعت گرمایشی معادل $5^{\circ}\text{C}/\text{min}$ در اتمسفر محیط بر روی نمونه انجام و نمودارهای حاصل در شکل (۳) نشان داده شده است. با توجه به این شکل، منحنی TGA را می‌توان به سه مرحله کاهش وزن تقسیم‌بندی کرد. اولین مرحله: حدود ۸ درصد کاهش وزن در محدوده دمایی $25-170^{\circ}\text{C}$ ، مرحله دوم: حدود ۲۴ درصد کاهش وزن در محدوده دمایی $170-390^{\circ}\text{C}$ و مرحله سوم: حدود ۲۲ درصد کاهش وزن در محدوده دمایی $390-450^{\circ}\text{C}$. منحنی DTA را هم می‌توان به چهار مرحله تقسیم‌بندی کرد. مرحله اول: اختلاف دمایی منفی در محدوده دمایی $180-25^{\circ}\text{C}$ ، مرحله دوم: اختلاف دمایی مثبت در محدوده دمایی $390-450^{\circ}\text{C}$ ، مرحله سوم: یک پیک گرمایش قوی در محدوده دمایی $450-590^{\circ}\text{C}$ و مرحله چهارم: افزایش مجدد اختلاف دمایی در حوالی دمای 800°C . با توجه به تقسیم‌بندی‌های صورت گرفته اطلاعات حاصل از TGA قابل انطباق بر اطلاعات DTA می‌باشند، بدین صورت که مرحله اول TGA مربوط به حذف فیزیکی آب و اتانول از سطح پودر می‌باشد و در همین مرحله منحنی DTA یک اختلاف دمایی منفی را نشان می‌دهد که بر یک واکنش گرمایشی دلالت می‌کند. مرحله دوم کاهش وزن در TGA مربوط به شکستن

جدول (۱): کسرهای حجمی نانوپودرهای تراگونال در دماهای مختلف.

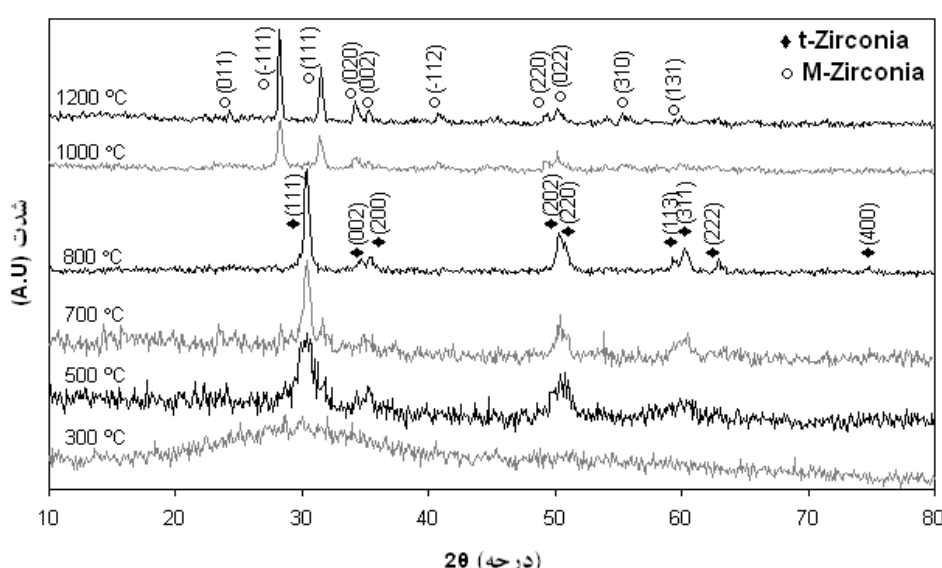
دما (°C)	کسر حجمی فاز تراگونال
۰/۵۷	۸۰۰
۰/۳۹	۹۰۰
۰/۱۸	۱۰۰۰
۰/۱۳	۱۱۰۰
۰/۹	۱۲۰۰

علت ظاهر شدن فاز تراگونال در دماهای کمتر از فاز منوکلینیک در نانوپودرهای زیرکونیایی را می‌توان به این واقعیت نسبت داد که انرژی آزاد سطحی ویژه در فاز تراگونال ($\gamma = ۰/۷۷ \text{ J/m}^2$) کمتر از فاز منوکلینیک ($\gamma = ۱/۱۳ \text{ J/m}^2$) است و لذا مساحت سطح بالا در نانوپودرها یک عامل بازدارنده ترمودینامیکی در فاز منوکلینیک بوده و فاز تراگونال زودتر ظاهر شده است. دمای استحاله فازی تراگونال به منوکلینیک به پایداری نسبی این دو فاز نسبت داده شده است و پایداری این فازها هم به مجموع انرژی‌های آزاد سطحی ذرات و یا جسم بالک بستگی دارد [۱]، از آنجاییکه انرژی آزاد فاز منوکلینیک در حالت بالک پایین تر از تراگونال و بر عکس انرژی آزاد سطحی ذرات نانو فاز تراگونال پایین تر از منوکلینیک است، لذا زمانیکه اندازه این ذرات در یک دمای معین از یک حد بحرانی

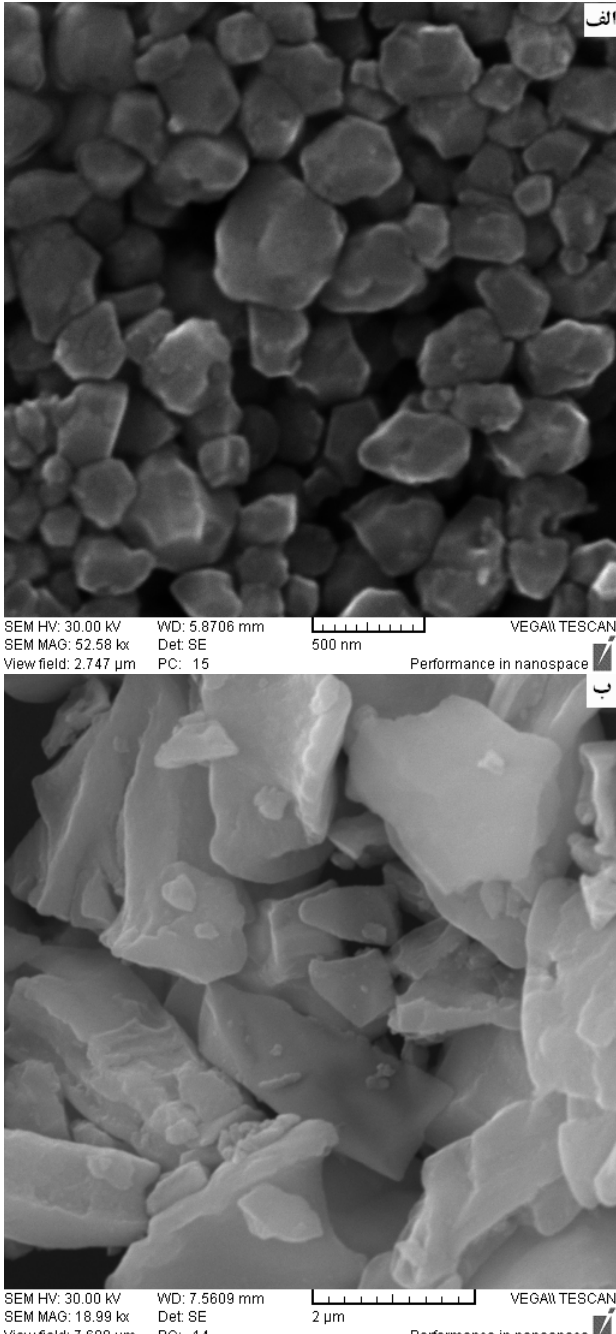


شکل (۴): وابستگی مساحت سطحی و اندازه بلورهای نانوپودرهای زیرکونیایی به دما.

پراش اشعه X پودر حاصل از محلول زیرکونیا در محدوده دمایی $۳۰۰-۱۲۰۰^\circ\text{C}$ مشاهده می‌شود. با توجه به فرمول دبای - شر (رابطه (۴)) و از روی نمودار XRD اندازه متوسط بلورهای فاز تراگونال در دمای 800°C حدود 29 nm و فاز منوکلینیک در دمای 1200°C حدود 70 nm محاسبه شده است (شکل (۴)). کسر حجمی فازها به کمک روابط (۱) الی (۳) و الگوی پراش اشعه X محاسبه شده اند، همانطور که در جدول (۱) ملاحظه می‌شود کسر حجمی فاز منوکلینیک با افزایش دما در محدوده دمایی $۱۲۰۰-۸۰۰^\circ\text{C}$ افزایش می‌یابد.

شکل (۵): الگوهای XRD نانوپودرهای زیرکونیا در محدوده دمایی $۳۰۰-۱۲۰۰^\circ\text{C}$.

و ورقه‌ای شکل تغییر کرده‌اند.



شکل (۶): تصاویر SEM از پودرهای زیرکونیایی در دماهای (الف) 700°C و (ب) 1050°C .

کوچک‌تر باشد، فاز تتراگونال پایدار خواهد بود، این اندازه بحرانی توسط گروه تحقیقاتی King [۱۰] بررسی شده است. زیرکونیایی که برای استحالة تتراگونال به منوکلینیک در یک دمای خاص از طریق مدنظر قرار دادن تنها عامل ترمودینامیکی (انرژی آزاد سطحی) بدست می‌آید، معمولاً از مقدار واقعی آن کوچک‌تر است یعنی در حین استحالة اندازه واقعی ذرات بزرگ‌تر از اندازه تئوری آنها است، چرا که فاکتورهایی مانند تنش‌های موجود در مرز حوزه‌های مغناطیسی، نطفه‌های جوانه زنی، جا خالی‌های آنیونی، آنیون‌ها و کاتیون‌های جذب شده به پایداری فاز تتراگونال کمک می‌کنند [۱۱-۱۲].

۳-۳- مشاهدات میکروسکوپی

تصاویر SEM حاصل از نانوپودرهای زیرکونیایی که در دماهای 700°C و 1050°C سنتز شده بودند، در شکل (۶) نشان داده شده است. با توجه به این تصاویر می‌توان مشاهده کرد که پودرهای سنتز شده در دمای 700°C (فاز تتراگونال) حاوی دانه‌هایی متراکم، ریز، یکنواخت و به شکل چند وجهی (شکل ۶-الف) می‌باشند ولی در پودرهای سنتز شده در دمای 1050°C (فاز منوکلینیک) دانه‌های بصورت کشیده، گوشیدار و ورقه‌ای شکل (شکل ۶-ب) بوده‌اند.

۴- نتیجه گیری

در این تحقیق با استفاده از فرآیند سل-ژل نانو پودرهای خالص و همگن زیرکونیا تولید گردید. تغییر دمای عملیات حرارتی از 300°C تا 1200°C منجر به تغییرات فازی و خواص نانوپودرهای زیرکونیایی شده است. زیرکونیا ابتدا آمورف بوده و با افزایش دما در محدوده دمایی 800°C به فاز بلوری تتراگونال تبدیل شده و در نهایت در دماهای بالاتر از 800°C تدریجیاً به منوکلینیک تغییر فاز داده است. افزایش دمای عملیات حرارتی باعث کاهش S_{BET} و در نتیجه افزایش اندازه متوسط ذرات گردیده است. مورفولوژی ذرات زیرکونیا هم با افزایش دما و تغییر فاز از حالت یکنواخت و چند وجهی به دانه‌های گوشیدار

- [7] Q. Chang, J. Zhou, Y. Wang, G. Meng, Formation mechanism of zirconia nano-particles containing pores prepared via sol-gel-hydrothermal method, *Adv. Powder Technol.* In press.
- [8] James F. Shackelford, Robert H. Doremus, *Ceramic and Glass Materials: Structure, Properties and Processing*, New York, 2008.
- [9] P. E. Meskin, V. K. Ivanov, A. E. Barantchikov, B. R. Churagulov, Y. D. Tretyakov, Ultrasonically assisted hydrothermal synthesis of nanocrystalline ZrO_2 , TiO_2 , $NiFe_2O_4$ and $Ni_0.5ZnO_0.5Fe_2O_4$ powders. *Ultrason. Sonochem.*, Vol. 13, pp. 47-53, 2006.
- [10] T. Chraska, A. H. King, C. C. Berndt, On the size-dependent phase transformation in nanoparticulate zirconia, *J. Mater. Sci. Eng. A*, Vol. 286, pp. 169-178, 2000.
- [11] Tomas Raming, The synthesis of Nano-nano dual phase ceramic composites, Netherlands, 2000.
- [12] J. R. Kelly, I. Denry, Stabilized zirconia as a structural ceramic: An overview, *Dent Mater*, Vol. 24, pp. 289-298, 2008.

۵. مراجع

- [1] B.M. Caruta, *ceramics and composite materials: new research*, Nova Science Publishers, Inc. New York, 2006.
- [2] E. N. Muccillo, E. C. C. Souza, R. Muccillo, Synthesis of reactive neodymia-doped zirconia powders by the sol-gel technique, *J. Alloys Compd*, Vol. 344, pp. 175-178, 2002.
- [3] Y. Rong, Phase transformations and phase stability in nanocrystalline materials, *Sol. State Mater. Sci.*, Vol. 9, pp. 287-295, 2005.
- [4] M. Yoshimura, S. Oh , M. Sando , K. Niihara, Crystallization and microstructural characterization of ZrO_2 (3 mol% Y_2O_3) nano-sized powders with various Al_2O_3 contents, *J. Alloys Compd*, Vol. 290, pp. 284-289, 1999.
- [5] T. Arima, K. Idemitsu, K. Yamahira, S. Torikai, Y. Inagaki, Application of internal gelation to sol-gel synthesis of ceria-doped zirconia microspheres as nuclear fuel analogous materials, *J. Alloys Compd*, Vol. 394, pp. 271-276, 2005.
- [6] C. W. Kuo, Y. H. Shen, M. Hung, S. B. Wen, H. Lee, M. C. Wang, Effect of Y_2O_3 addition on the crystal growth and sintering behavior of YSZ nanopowders prepared by a sol-gel process, *J. Alloys Compd*, Vol. 472, pp. 186-193, 2009.